

低温 HI 雲

福井康雄*・佐藤文男**・長谷川哲夫***

はじめに

星間空間の中性水素(HI)ガスの出す波長21cmの電波は、1951年に発見されている。当初、温度が100Kくらいでかなり一様だと思われていたHIガスも、その後の観測から、温度、密度ともに相当のバラエティのあることがわかつてきた。図1は、電離ガスや分子雲を含めた星間ガスの物理状態を温度—密度図上に示したものである。HIガスで最も高温なのは、「暖かいガス」(warm gas)と呼ばれる温度が1,000-10,000Kで密度が $0.1\text{-}1.0\text{ cm}^{-3}$ のガスであり、その中に「低密度雲」(diffuse clouds)と呼ばれる温度が100-1,000K、密度が $1\text{-}10\text{ cm}^{-3}$ のガス雲が散在している。この両者は、主に、速度にして数10km/sの幅広い輝線として観測される。それに対して、これから問題にするのは、温度が数10K以下と低く、分子も含めた全粒子数密度が 10 cm^{-3} 以上と推定される星間雲である。これらの雲は、HI輝線を背景にして線幅数km/sの鋭い切れ込みとして検出される。このような雲を、ここでは「低温HI雲」と呼ぶことにしよう。

低温HI雲が注目されるようになったのは比較的新しく、1970年代に入ってからである。CO等の星間分子線による天文観測が本格化する以前の代表的研究として、ナップ(G. R. Knapp)の暗黒星雲サーベイがある(1974年)。彼女は、88個の暗黒星雲に、米国立電波天文台(NRAO)の140フィート鏡を向け、そのうちの45個についてHIプロファイル中に鋭い切れ込みを見出

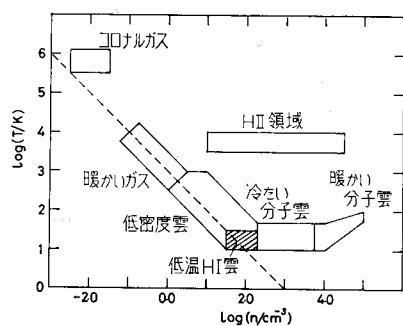


図1 密度-温度図上での星間物質の諸相。点線は、圧力平衡のなり立つ線を示す。

*名大理 Yasuo Fukui, **千葉県教育センター Fumio Sato, ***東京天文台 Tetsuo Hasegawa: Cold HI Clouds in the Galaxy.

した。星間減光から推定された水素の総量と比べると、切れ込みの深さから求められたHIガスの量は1/20-1/100にすぎなかった。そこで、彼女は、暗黒星雲中の水素の大部分は水素分子の形で存在しているのだろうと考えた。

星間分子線による観測結果から、星間分子雲に関する認識が確立したのは1970年代半ば頃である。HIの自己吸収についても、星間分子雲に関する情報をもとに見直してみようという試みが、時期を同じくしていくつかのグループによって検討されはじめた。分子雲とHI自己吸収との関連についての最初の論文は、パートン(W. B. Burton)達によって発表された(1978年3月)。彼らは、アレシボ天文台の300m固定球面鏡を用いて銀河面にそった高分解能(3')のHI地図をつくり、NRAOの36フィート鏡で得たCOの地図と比較した。その結果、HIの凹みとCO輝線とがよく対応していること、つまり、低温HIガスがもっぱら分子雲中にあることが指摘された。しかし、彼らは、詳しい定量的な解析を行なうには至らなかった。

同じころ、筆者の一人(佐藤)は、M17(オメガ星雲)の近くの大分子雲の方向のHIプロファイル中に鋭い切れ込みを発見した(図2)。HIのデータソースは、1973年のウェスター・ハウトのサーベイ(Maryland-Green Bank Galactic 21cm Line Survey, 3rd ed.)である。自己吸収の空間的な分布を調べてみると、CO輝線の分布とほぼ同じ広がりを有していて、視線速度(局部静止基準に対して20km/s)もCOとHIとで一致がよいこともわかつた。HIのスピン温度として、COの輝度から推定したガス温度を用いることによって、HIの光学

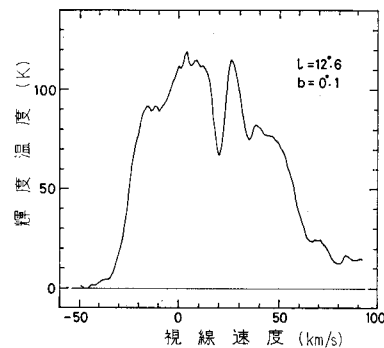


図2 M17領域のHIプロファイル。視線速度20km/sの深さ50Kの鋭い切れ込みが、分子雲中の低温HIによる自己吸収である。

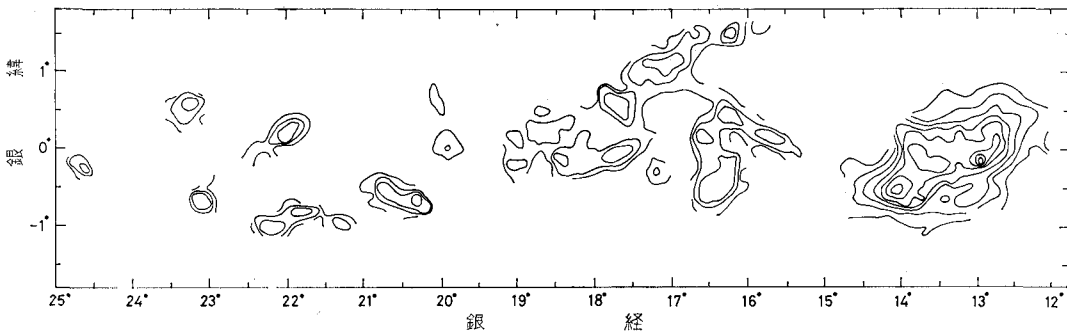


図 3 M16/M17 領域の低温 HI 雲の分布図。光学的深さのコントア・レベルを示している。銀経 12° - 15° の雲が M17 に附隨している。

的深さなどを詳しく調べることができた (F. Sato, Y. Fukui: Astron. J., 83, 1967, 1978 年 12 月)。

いくつかのケース・スタディ

図 3 は、このようにして調べた M16/M17 領域の低温 HI 雲の分布である。HII 領域を伴う巨大分子雲に対応する長さ 300 光年におよぶ HI 雲のほかに、直径約 60 光年ほどの小さな雲の粒が多数見られる。これらの低温 HI 雲は、CO 分子雲よりもやや低密度であり、その分布は CO 輝線よりも広がっている。一方、やはり HII 領域を伴った巨大分子雲のひとつである W3/W4 領域を解析してみると、HI の自己吸収として新たに検出された低温雲の総質量は、CO 輝線の強度から推定される質量に匹敵することがわかった (表紙写真。T. Hasegawa, F. Sato, Y. Fukui, Astron. Astrophys., in press, 1981 年)。このことは、CO 輝線と HI 輝線とで星間ガスの質量のほとんどが検出されているとする常識に対して、一つの疑問を投げかけることになった。

これらのケース・スタディの中で浮かび上がってきた問題に対して、サンプルの数を増やしてより一般性のある回答を得ようという動機で、私たちは低温 HI 雲のサーベイを開始した。答えるべき主な问题是、

- ①低温 HI 雲の典型的な描像はどのようなものか。特にいわゆる CO 分子雲とどう関連するのか。分子雲の生長過程の中でどう位置づけられるのか。
- ②星間物質の総質量のうち、低温 HI 雲が担っている割合はどのくらいか。

そして、

- ③水素原子の水素分子への転換はどのように起きているのか。

という 3 点である。

今回は、手始めに図 4 に示した 2 つの領域について調べた結果を紹介しよう。視線速度を限定したので、サジタリウス・アームとペルセウス・アームの一部が含まれ

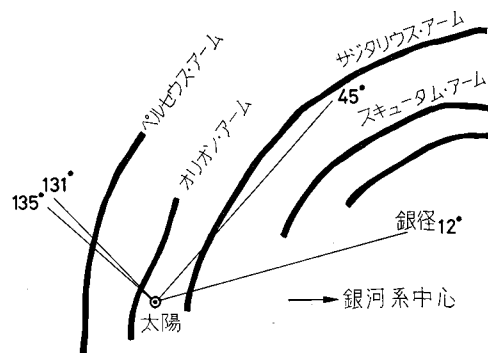


図 4 サーベイしたのは、銀経 12° - 45° 及び 131° - 135° の 2 つの扇形領域。アームのスケッチは、古典的な HI サーベイによる。

ており、距離が 6 千光年から 9 千光年の雲を調べたことになる。これらの領域で、合計 40 個の低温 HI 雲が同定され、約 4000 個のプロファイルが解析された。

典型的な低温 HI 雲

測定したパラメータは、雲の直径 (d)、吸収の切れ込みの光学的深さ (τ) と速度幅 (Δv) である。まず、 Δv , τ およびこれらから計算される低温 HI ガスの柱密度 $N(\text{HI})$ の度数分布は、図 5 のようになる。平均値は、

$$\bar{\Delta v} = 3.9 \pm 0.8 \text{ km/s}$$

$$\bar{\tau} = 0.27 \pm 0.08$$

$$\bar{N}(\text{HI}) = (4.0 \pm 1.7) \times 10^{19} \text{ cm}^{-2}$$

となり、比較的狭い範囲に分布していることがわかる。

一方、雲の直径と質量 (M) の分布を図 6 に示した。低温 HI 雲の主成分は水素分子であり、観測にかかる水素原子は微量成分にすぎない。H₂ と HI との比も雲の物理状態などによって変化するので、HI ガスの量から雲の総質量を推定するのは難しい。そこで、ここでは、ビリアル定理を用いて Δv と d とから決まる力学的質量を採用することにした。これまでのケーススタディの結

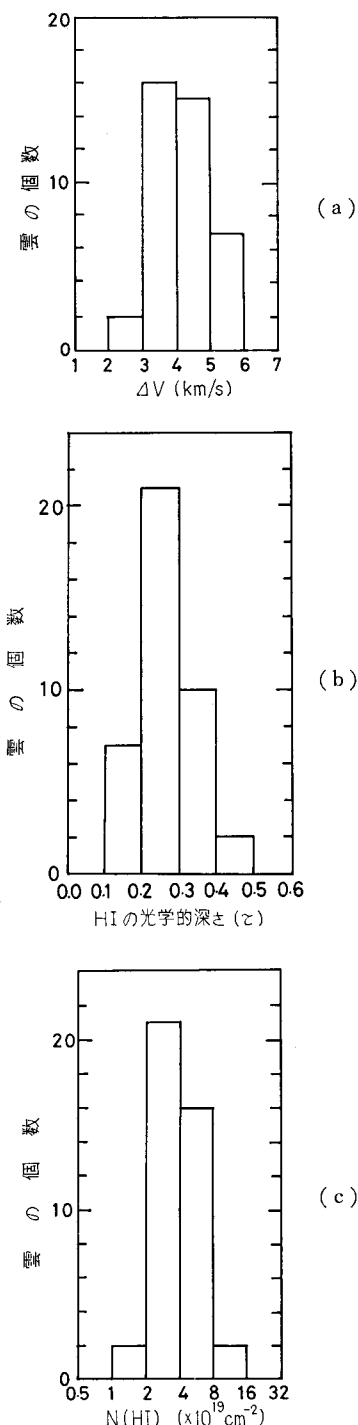


図 5 低温 HI 雲の線巾 (ΔV km/s), 光学的深さ (τ), 及び柱密度 ($N(\text{HI}) \text{ cm}^{-2}$) の度数分布。

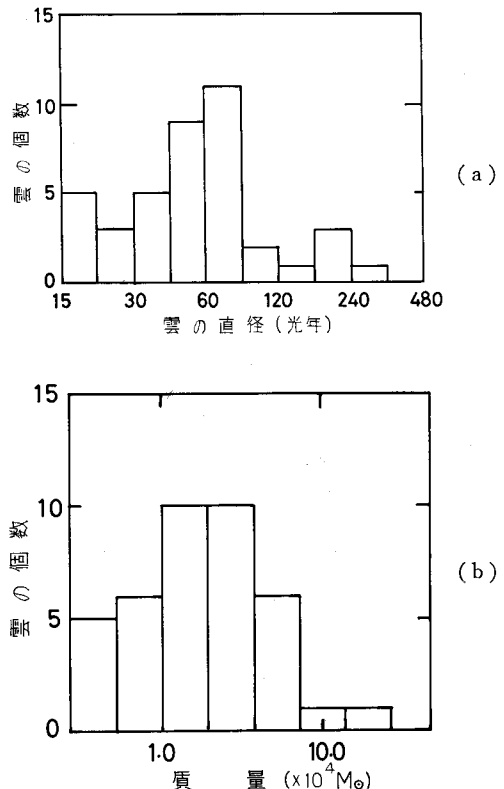


図 6 低温 HI 雲の直径 (d 光年) と質量 (M) の度数分布。

果から、この方法でも 2 倍程度の確からしさで質量を求めることができると考えられる。直径、質量ともに広い範囲に分布しており、平均値は、

$$\bar{d} = 60 \text{ 光年}$$

$$\bar{M} = 3 \text{ 万太陽質量}$$

となる。これから、 H_2 と HI は、

$$\overline{n(\text{H}_2)} = 140 \text{ cm}^{-3}$$

$$\overline{n(\text{HI})} = 0.7 \text{ cm}^{-3}$$

と求まり、HI は H_2 の約 1/200 しかないことがわかる。以上の結果をまとめると、典型的な低温 HI 雲は、直径 60 光年、質量 3 万太陽質量、密度 140 cm^{-3} の分子雲である、と結論される。

再び、図 1 を眺めてみよう。上のようにして決められた低温 HI 雲の占める位置は、圧力の釣り合いの直線上で、「低密度雲」と「冷たい分子雲」との中間にあることがわかる。星間物質の輸送の主要な道すじの一つを、〈暖かいガス〉→〈低密度雲〉→〈冷たい分子雲〉→〈暖かい分子雲〉のように考えると、低温 HI 雲は、分子雲生成の初期の段階に対応しているのではないかと予想される。

ソロモン達 (P. M. Solomon et al., 1979) は、CO 輝

線の観測から、巨大分子雲の物理量として次のような値を求めていた。

$$\bar{d}=120 \text{ 光年}$$

$$\bar{M}=50 \text{ 万太陽質量}$$

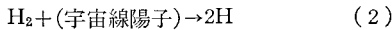
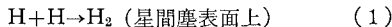
$$\overline{n(H_2)}=300 \text{ cm}^{-3}$$

大まかに言って、低温 HI 雲は巨大分子雲に比べて、直径・密度が 1/2、質量が 1/10 ということになる。

今回サーベイした領域は、銀河系のディスク中で分子雲の存在するリング帶の 1/80 の体積を占めている。ディスク内の雲の分布が一様とすると、低温 HI 雲の総数は 3000 個となり、総質量 1×10^8 太陽質量となる。これは、CO 分子雲の総質量の 1/40 にすぎないが、ディスク内で CO 分子雲と低温 HI 雲の相対的な質量配分が変化している可能性は十分にある。ペルセウス・アルムの W3/W4 で、低温 HI 雲の質量が CO 雲の質量と同じくらいあるという事実は、ディスクの外側で低温 HI 雲の重要度が増していることを示唆するものかも知れない。

HI の存在量と宇宙線強度

それでは、中性水素ガスの存在量はどのような仕組で決まっているだろうか。重要な反応は、次の 2つである。



(1) の反応率を R 、(2) の反応率を k と書くと、平衡状態において、HI の密度は次の式で与えられる。

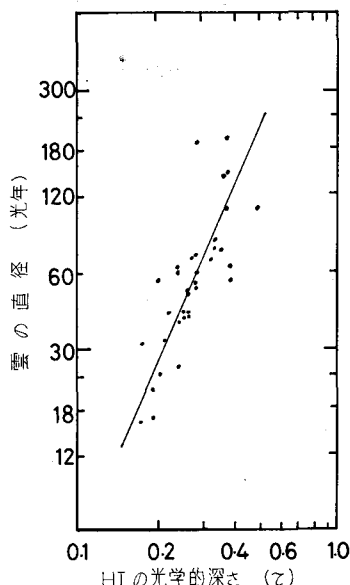


図 7 低温 HI 雲の光学的深さ (τ) と直径 (d) の相関図。傾きが 1 よりも急になっていることに注目したい。

$$n(HI)=k/2R$$

よく使われる k と R の値を代入すると、 $n(HI) \approx 0.3 \text{ cm}^{-3}$ となり、今回もとめられた値 0.7 cm^{-3} と比較的よく一致し、このような簡単なスキームが悪くないことを示唆する。そこで、このスキームにもとづいてさらに観測量の間の関係を予想することができる。

明らかなのは、雲の直径 (d) と光学的深さ (τ) が比例関係にあるだろうという予想である。これを確かめるために、 d と τ との相関を調べてみると、図 7 に示したようによい相関があり、相関係数は 0.85 である。最少自乗法によって次の関係が得られる。

$$\tau \propto d^{0.44} \quad (3)$$

d の増加につれて τ が増加するのは予想された通りであるが巾指数は 1 よりも有意に小さい。(3) の両辺を d で割ると、

$$n(HI) \propto \tau/d \propto d^{-0.56}$$

となり、直径の大きい雲ほど、中心部の HI が減少していることを示している。

この結果は、100 MeV 以下の軟宇宙線が (2) の反応に効いていると考えると説明できる (Y. Fukui, S. Hayakawa, Proceedings of ICRC, in press, 1981 年 7 月)。前出の低温 HI 雲のコラム密度 $4 \times 10^{21} \text{ cm}^{-2}$ は、数 MeV の陽子の飛程に相当するので、雲の外側で低エネルギー成分が減衰して雲の中の電離度が減少する可能性がある。簡単のために、宇宙線粒子が球状の雲の中を直進すると仮定すると、電離度 k は宇宙線の飛程スペクトル $dj(R)/dR$ に比例する。つまり、

$$dj(R)/dR \propto R^{-\beta}; \quad \beta = 1 - 0.44$$

飛程は、宇宙線陽子のエネルギー E と $R \propto E^{1.8}$ のように関係しているから、宇宙線のエネルギースペクトルは

$$dj(E)/dE = dj/dR \cdot dR/dE \propto E^{-0.2}$$

となる。つまり、数 MeV 数 10 MeV では宇宙線陽子のエネルギースペクトルはかなり平坦なものである。という結論に至る。この結果は、直接観測できない軟宇宙線に関する情報が低温 HI 雲の測定から導びかれる点で大変興味深い。

おわりに

低温 HI 雲の研究は、私たちがこの仕事を始めた当初には予想もしなかった面白い展開を見せてきた。今後、サンプルの数を増やしてディスク内の分布の様子を探りたいと考えている。また、速度分解能を上げて、雲の角運動量についての統計を行なうことも興味あるテーマである。この研究は、東京大学東京天文台の FACOM 230/58 を用いて行なわれた。